

# Raman studies on a heavily distorted polycarbonate sample – Raman-Untersuchungen an einer stark deformierten Polycarbonat-Probe

J. Debus\* and D. Dunker

*Experimentelle Physik 2, Technische Universität Dortmund, 44227 Dortmund, Germany*

Differently distorted areas on a polycarbonate sample are studied by means of Raman spectroscopy. The various Raman lines, whose energy shifts range between 200 and 3200  $\text{cm}^{-1}$ , are compared for different sample positions with respect to their spectral position, intensity and line width. While a double bonding does not indicate a change in the structural characteristics of the distorted polycarbonate, CH-stretching modes show strong Raman intensity differences induced by mechanical stress. Experimental setup modifications are outlooked.

Eine Polycarbonat-Probe wird an unterschiedlich stark deformierten Stellen mittels Raman-Spektroskopie untersucht. Die verschiedenen Raman-Linien mit Raman-Verschiebungen in einem Bereich von 200 bis 3200  $\text{cm}^{-1}$  werden für die unterschiedlichen Probenstellen hinsichtlich ihrer spektralen Position, Intensität und Breite verglichen. Aus den experimentellen Resultaten geht hervor, dass Doppelbindungen nur unzureichend als Indikator für strukturelle Veränderungen innerhalb des deformierten Polycarbonats dienen. Hingegen zeigen CH-Streckungen deutliche Raman-Intensitätsunterschiede in Abhängigkeit von dem Polycarbonat-Verspannungsgrad. Ein Ausblick auf experimentelle Erweiterungen wird gegeben.

Die Raman-Spektroskopie ermöglicht die Untersuchung von chemischen Zusammensetzungen und molekularen Strukturen von Polymeren auf einer mikroskopischen Skala; mikroskopische Eigenschaften können makroskopische Parameter, wie beispielsweise die materialspezifische Dehnungsstärke, beeinflussen. Konformationelle Defekte, die Veränderungen von Molekülanordnungen infolge externer Einflüsse entsprechen und in Polymeren in der Regel auftreten, werden in Form von geordneten und ungeordneten Molekülketten beschrieben. Diese wiederum werden durch lokale Parameter, zum Beispiel durch die relative Besetzung von isomerischen Zuständen entlang einer zentralen Bindungsrichtung, definiert<sup>1</sup>. Solche konformationellen Defekte spiegeln sich in Frequenzverschiebungen und gegebenenfalls in Verbreiterungen von Raman-Signalen wider; die Abschätzung von lokalen Parametern ist möglich. Ebenso zeigen sich die Auswirkungen von Temperaturänderungen auf polymere Strukturen in Raman-Spektren, bedingt durch Änderungen in der konformationellen Verteilung entlang von molekularen Ketten. Typische Raman-Signaturen werden Gruppen von Ketten-Konformationen zugeordnet. Ihre Änderungen dienen zur Charakterisierung polymerer Strukturen. Während Beugungsmethoden Informationen über langreichweitig geordnete Systeme liefern, adressiert die Raman-Spektroskopie die lokale Ordnung bzw. Unordnung. Außerdem hängt die Raman-Intensität von Änderungen in der Polarisierbarkeit polymerer Substrukturen ab; sie ist verhältnismäßig groß für Kohlenstoffbindungen, sofern sie die polymere Basis bilden. Polarisierete Raman-Streuung kann zahlreiche Informationen über die Orientierung von Kettensegmenten und die Zuordnung von bestimmten Bändern liefern. Wenn ein Polymer im geschmolzenen Zustand extrudiert wird, treten Deformationen überwiegend während des Übergangs in die feste Phase auf. Die Art und Weise der mikro- und makroskopischen Orientierungen

hängt von dem Relaxationsprozess und der Spannung während des Erstarrens ab. Typischerweise bildet sich ein geringer Orientierungsgrad aus, abhängig von dem Temperaturprofil in unterschiedlichen Bereichen der polymeren Probe. Die Raman-Spektroskopie liefert eine Charakterisierung von den Orientierungen polymerer Segmente.

Im Folgenden werden der experimentelle Aufbau, eine Analyse der Raman-Messdaten und abschließend ein Ausblick hinsichtlich experimenteller Optimierungsmöglichkeiten dargelegt. Das Untersuchungsobjekt der Raman-Messungen war eine stark deformierte Probe aus Polycarbonat.

## A. Experimentelle Details

Die Raman-Messungen wurden mit einem gepulsten Nd:YVO-Laser, betrieben in der zweiten harmonischen ( $\lambda_{\text{exc}} = 532 \text{ nm}$ ), durchgeführt. Die Raman-Signale wurden mit einem dreistufigen Monochromator und einer stickstoffgekühlten CCD-Kamera aufgenommen. Die Polycarbonat-Probe wurde in der Rückstreuungsgeometrie ohne Polarisationsoptik untersucht. Der Tripel-Monochromator arbeitete in dem subtraktiven Modus, in dem die ersten beiden Stufen als Laserfilter dienten und die Dispersion ausschließlich von der dritten/letzten Stufe übernommen wurde. Die maximale spektrale Auflösung dieser Konfiguration lag unterhalb von  $1 \text{ cm}^{-1}$ . Ein störender Einfluss von Laserstreulicht konnte nicht festgestellt werden, obwohl die Zwischenspalte verhältnismäßig weit geöffnet ( $500 \mu\text{m}$ ) waren, um die Intensität der Raman-Signale zu erhöhen. Die Messungen erfolgten bei Raumtemperatur. Die Rückseiten der illuminierten Probenstellen wurden mit kaltem Stickstoffgas gekühlt, um eine thermische Beschädigung des Polycarbonats durch den Laserstrahl zu vermeiden. Die Laserleistung betrug etwa 26 mW.



FIG. 1. Fotoaufnahmen der illuminierten Stellen der Polycarbonat-Probe. Die drei unterschiedlich verspannten Bereiche werden mit Position 1, 2 und 3 bezeichnet. Die Position 1 liegt in einem unbearbeiteten (spannungsfreien) Bereich, gemäß des äußeren Erscheinungsbildes weist die Position 2 einen mittleren und Position 3 einen starken Verspannungsgrad auf.

## B. Analyse der Raman-Spektren

Die Analyse der Raman-Spektren für drei illuminierte Stellen der Polycarbonat-Probe umfasst die Charakterisierung der Raman-Signale und den Vergleich der Merkmale der jeweiligen Signale, um Aussagen über die Auswirkungen von Deformationen des Polycarbonats auf die Raman-Signale treffen zu können.

Es wurden drei unterschiedliche Bereiche der Probe mit dem Laser bestrahlt, nachfolgend werden sie mit Position 1, 2 und 3 gekennzeichnet. Entsprechend dem äußeren Erscheinungsbild der untersuchten Bereiche wird zwischen einem vernachlässigbaren (pos. 1), mittleren (pos. 2) und hohen (pos. 3) Verspannungsgrad unterschieden. Die laserbestrahlten Stellen sind aus Gründen der Übersichtlichkeit und Reproduzierbarkeit fotografiert worden, siehe Abbildung 1.

Die Charakterisierung der beobachteten Raman-Signale basiert auf Ergebnissen aus verschiedenen Veröffentlichungen<sup>2-5</sup>. Den Ausgangspunkt der Signalidentifizierung stellt die molekulare Struktur von Polycarbonat dar. Polycarbonat setzt sich hauptsächlich aus Kohlenstoff-Sauerstoff(C-O, C=O)-, Kohlenstoff-Wasserstoff(CH<sub>3</sub>)- und auch Kohlenstoff-Kohlenstoff(C-C)-Bindungen zusammen. Die Schwingungsfrequenzen bei der Raman-Spektroskopie hängen vorwiegend von Bindungsstreckungen und Bindungskrümmungen ab, die durch entsprechende Kraftkonstanten beschrieben werden. Konformationelle Änderungen äußern sich nur geringfügig in Änderungen der Kraftkonstanten. Daher ändern sich die Schwingungsfrequenzen nur um eine oder zwei Wellenzahlen<sup>5</sup>, solche Differenzen können mit dem verwendeten Raman-Setup detektiert werden.

Die aufgenommenen Raman-Spektren für die drei untersuchten Probenstellen sind in der Abbildung 2 dargelegt. Die Spektren weisen dieselben Raman-Bänder auf, allerdings unterscheiden sie sich in ihrer Intensität, Breite und teilweise auch in ihrer Frequenz. Diese Merkmale werden mittels Gauß-Anpassungen der Raman-Signale ermittelt, wobei die Genauigkeit auf

1 cm<sup>-1</sup> festgelegt/ reduziert wird. Von der hohen Genauigkeit (0,1 cm<sup>-1</sup>) einer differentiellen Raman-Spektroskopiemethode wird in dieser ersten Untersuchungsphase abgesehen. Insgesamt sind 20 hinreichend ausgeprägte Raman-Signale feststellbar. In Tabelle 1 sind ihre Merkmale und ihre möglichen physikalischen Ursprünge aufgeführt.

Die Raman-Spektren weisen ein Charakteristikum hinsichtlich der Abhängigkeit der relativen Signalintensität von dem Verspannungsgrad auf: Je höher der –vermutete– Verspannungsgrad ist, desto intensiver ist das Raman-Signal. Die ermittelten relativen Intensitäten berücksichtigen den größeren Fluoreszenz-Hintergrund infolge des stärkeren Streulichts bei verspannten Stellen. Ob sich die Frequenz bei verändertem Verspannungsgrad systematisch ändert, lässt sich im Rahmen dieser ersten Messreihe nicht manifestieren. Dennoch legen die beobachteten Frequenzänderungen die Vermutung nahe, dass sich Deformationen in der Polycarbonat-Probe durch eine Frequenzänderung bestimmter Raman-Signale äußern. Welche Schwingungsbänder hierfür besonders geeignet sind, lässt sich bisher nur schätzen: Die Frequenzen der C-O-Ringstreckungen reagieren scheinbar sehr schwach auf externe Einflüsse, während der Einfluss auf die CH-Bindungen stärker zu sein scheint. Einen weiteren Indikator zur Feststellung von strukturellen Änderungen stellt die Halbwertsbreite (HWB) der Raman-Signale dar. Relativ breite Peaks sind in dem spektralen Bereich zwischen 1200 und 1600 cm<sup>-1</sup> zu erkennen. Sie können C-O-Streckschwingungen sowie Phenyl-Ring-Atmungsmoden (CH<sub>3</sub>-Deformationen) zugeordnet werden. Ihre Breite weist auf das Vorhandensein von mehreren polymeren Konformationen hin. Diese Schwingungen können eine wichtige Rolle hinsichtlich der Identifizierung morphologischer Änderungen, bedingt durch die Verformungen des Polycarbonats, einnehmen (vgl. Aging-Mechanismus<sup>5</sup>).

Ein Merkmal der Carbonyl-Gruppe ist die Streckung der Kohlenstoff-Sauerstoff-Doppelbindung(C=O) aufgrund der starken Änderung des Polarisierbarkeitstensors. Die typische Wellenzahl der korrespondieren-

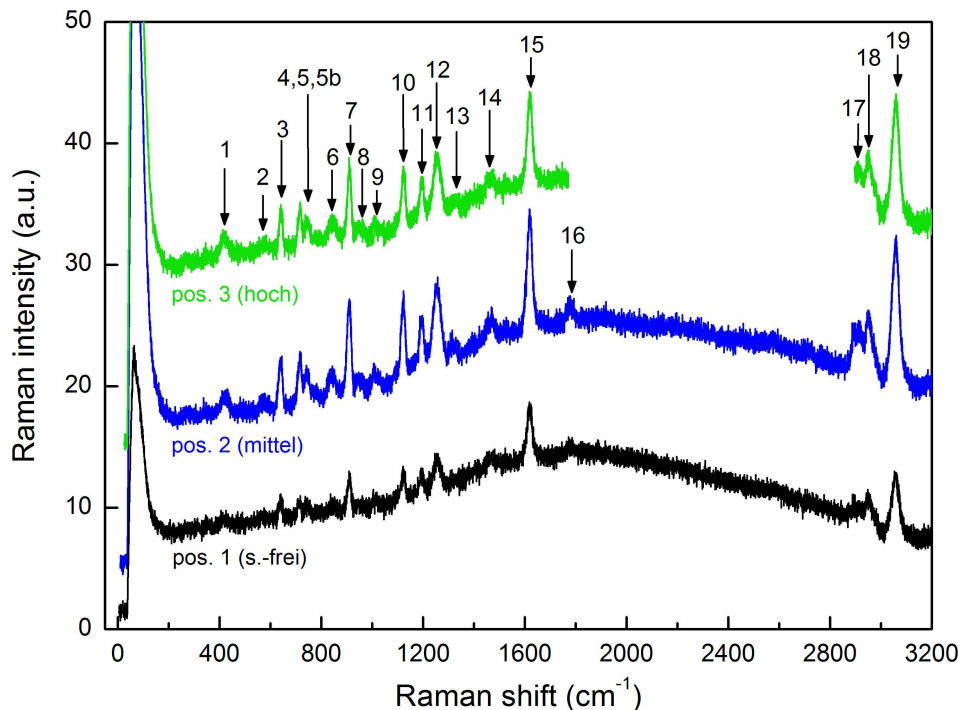


FIG. 2. Raman-Spektren von den illuminierten Stellen (Pos. 1, 2 und 3) der Probe aus Polycarbonat. Die Raman-Signale sind nummeriert, ihre Charakterisierung findet sich in Tabelle 1. Für die Pos. 3 (grün) wurden nur die linienreichen Frequenzbereiche aufgenommen.

den Schwingung liegt zwischen  $1700$  und  $1780$   $\text{cm}^{-1}$ . Die unterschiedlichen Stellen der Polycarbonat-Probe zeigen ein schwaches Raman-Signal in diesem Frequenzbereich (Peak 16 bei etwa  $1779$   $\text{cm}^{-1}$ ). Die Intensitätsschwäche des Carbonyl-Signals kann auf einem geringen Streuquerschnitt der  $\text{C}=\text{O}$ -Bindung beruhen. Die geringe Raman-Aktivität der Schwingungsmode ist vermutlich auf eine starke Störung der  $\text{C}=\text{O}$ -Bindungen zurückzuführen; Spannungen führen zu Deformationen der Kohlen-/Sauerstoff-Doppelbindungen, wodurch die inelastische Streuwahrscheinlichkeit mit einfallenden Photonen abnimmt. Zudem nimmt die Frequenz der  $\text{C}=\text{O}$ -Streckschwingung um etwa  $1$   $\text{cm}^{-1}$  bei mittlerem Verspannungsgrad ab. Durch einen Deformierungsprozess können starke Kohlenstoff-Sauerstoff-Bindungsdehnungen stattfinden, so dass sich der Abstand zwischen Kohlen- und Sauerstoff vergrößert und sich die Raman-Frequenz entsprechend verringert. Allerdings zeigt die untersuchte spannungsfreie Stelle ebenfalls ein schwaches Raman-Signal. Daher ist es relativ unwahrscheinlich, den Grund der Intensitätsschwäche in einem starken Verspannungsgrad zu suchen. Vielleicht dienen die Doppelbindungen nur unzureichend als Indikator für strukturelle Veränderungen innerhalb des deformierten Polycarbonats?

Hingegen ist der relative Intensitätsunterschied zwischen der asymmetrischen ( $2950$   $\text{cm}^{-1}$ ) und der symmetrischen ( $2900$   $\text{cm}^{-1}$ )  $\text{CH}$ -Streckung ein sensibler Indikator für strukturelle Änderungen. Beispiel-

sweise können die Signale in dem Bereich der Methylen-Streckschwingungen um  $2900$   $\text{cm}^{-1}$  auf Fermi-Resonanzen zwischen symmetrischen Anregungen von fundamentalen Streckschwingungen mit niedriger und hoher Frequenz zurückgeführt werden<sup>1</sup>. Fermi-Resonanzen treten auf, wenn zwei unterschiedliche Schwingungen von derselben Symmetrieart nahezu identische Energien besitzen. Die Sensitivität der  $\text{CH}$ -Streckschwingungen gegenüber Strukturänderungen resultiert aus einem inhärenten Verstärkungsfaktor. Niederenergetische Schwingungen sind für ihre Sensitivität gegenüber Ketten-Konformationen und Unterschiede in der Kettendichte bekannt. Infolge der Fermi-Resonanz können geringe Frequenzänderungen in der niederfrequenten Mode signifikante Änderungen in dem hochfrequenten Spektrum bewirken.

### C. Fazit und Ausblick

Zum einen zeigt sich für die drei unterschiedlichen Stellen der Polycarbonat-Probe eine Intensitätszunahme bei einer Vergrößerung des Verspannungsgrades für das jeweilige Raman-Signal (Peak 17 und 18). Aus den Intensitätsverhältnissen (Intensität von Peak 17 relativ zu der von Peak 18) geht hervor, dass mit erhöhtem Verspannungsgrad die Intensität des Raman-Signals der symmetrischen  $\text{CH}$ -Streckschwingung etwas stärker zunimmt. Ein ähnliches Verhalten kann bei polymeren

Strukturen gefunden werden, wenn sie einer erhöhten Temperatur ausgesetzt werden. Ein weiterer Unterschied zwischen den beiden Raman-Signalen deutet sich in ihren Frequenzen an, die stark variieren. Eine systematische Frequenzänderung lässt sich allerdings aus der geringen Anzahl an untersuchten Stellen nicht aufzeigen.

Die Detektion von den typischen Raman-Signalen der Carbonyl- und Methylen-Gruppe in deformiertem Polycarbonat unter Anregung mit moderaten Laserleistungen ist mit dem gewählten experimentellen Aufbau ohne großen Aufwand möglich. Die Charakterisierung der einzelnen Raman-Signale funktioniert ebenfalls, Deformationsauswirkungen auf die innere Struktur der Polycarbonat-Probe können festgestellt werden. Die Analyse der Raman-Spektren als auch die Literaturrecherche zeigten, dass für eine definitive Bestimmung von konformationellen Änderungen einige experimentelle Aspekte optimiert werden sollten.

Der Einfluss von plastischen Deformationen auf die innere Struktur von Polymeren, speziell von amorphem Polycarbonat, kann mittels der Raman-Spektroskopie im niederfrequenten Bereich ( $2 - 200 \text{ cm}^{-1}$ ) ermittelt werden<sup>6</sup>. Die breiten, niederfrequenten Raman-Bänder enthalten Informationen über die Orientierung von makromolekularen Verbindungen und über das anomale Verhalten der spezifischen Wärme, hierüber können auf mögliche strukturverändernde Prozesse während der Deformation geschlossen werden. Mittels des niedrigen Frequenzbereichs können auch zwischenmolekulare Wechselwirkungen untersucht werden, wodurch Informationen über das freie Volumen innerhalb des Polycarbonats gewonnen werden können. Da die Raman-Signale unterhalb von  $200 \text{ cm}^{-1}$  wesentlich sensitiver gegenüber Deformationen sind, sollte dieser Bereich in zukünftigen Messungen ebenfalls analysiert werden. Dies setzt eine stärkere Unterdrückung des Laserstreulichts und damit kleinere Zwischenspalte voraus. Die damit einhergehende Reduzierung der Signalintensitäten kann durch eine höhere Aufnahmezeit der Spektren kompensiert werden. Eine Erhöhung der Laserleistung ist nur in gewissem Maße möglich, da eine Beschädigung und zusätzliche Beeinflussung der illuminierten Probenstelle zu vermeiden ist.

Außerdem sollte die Idee der differentiellen Raman-Spektroskopie in Betracht gezogen werden (vgl. Lee et al.<sup>5</sup>). Hierbei wird das unbehandelte Probenstück in einer Messreihe (nahezu simultan ohne Veränderung der spektralen Position des Monochromators) mit der verspannten Probe untersucht. Nach Bildung der Differenz aus beiden Raman-Spektren können Abweichungen direkt verdeutlicht werden. Alternativ zu der Subtraktion können die Raman-Signale parametrisch angepasst und anschließend die Frequenzen und relativen Intensitäten miteinander verglichen werden. Die spektrale Genauigkeit bewegt sich hierbei in dem Bereich von  $0,1 \text{ cm}^{-1}$ . Da sich thermische Einflüsse auf Polycarbonat-Strukturen in geringen Frequenzverschiebungen ( $\approx 1 \text{ cm}^{-1}$ ) zeigen, ist diese Methode zu empfehlen.

Eine weitere Option ist die optische Anregung in dem ultravioletten Spektralbereich ( $\approx 355 \text{ nm}$ ). Da die Adressierung von kohlenstoffartigen  $\text{sp}^3$ -Hybridorbitalen mit hochenergetischem Licht wahrscheinlicher ist, können zusätzliche Informationen über Kohlenstoff-Kohlenstoff-Wechselwirkungen gewonnen werden. Veröffentlichungen über diese hochenergetische Anregung von Polymeren konnten wir bisher nicht finden. Hinsichtlich des Anregungsmechanismus könnten auch Reflexionsmessungen im nahinfraroten Spektralbereich durchgeführt werden. Diese Methode ist neben der Raman-Spektroskopie ebenfalls zur Charakterisierung von polymeren Strukturen etabliert<sup>1</sup>.

Aufgrund der Sensitivität der Raman-Bänder auf die Polarisierbarkeit molekularer Strukturen, der Abhängigkeit der Frequenz der Raman-aktiven Schwingungsmoden von der Orientierung konformationeller Ketten, können polarisationsabhängige Raman-Messungen Informationen über strukturelle Veränderungen liefern. Des Weiteren ist die Verwendung eines einzelnen Monochromators ohne starke Streulichtunterdrückung zu überprüfen und die Nützlichkeit einer solchen Anordnung für in-situ Materialcharakterisierungen einzuschätzen. Hierfür bietet sich die Sensitivität der CH-Streckschwingungen bei  $2900 \text{ cm}^{-1}$  gegenüber strukturellen Änderungen an, diese sollten mit einem einfachen Monochromator problemlos detektiert werden können.

\* Corresponding author: joerg.debus@tu-dortmund.de

<sup>1</sup> W. H. Weber und R. Merlin (Ed.), *Raman Scattering in Materials Science*, Springer-Verlag, Berlin (2000).

<sup>2</sup> A. Kulczycki, *Calculation of the vibrational frequencies of crystalline bisphenol A polycarbonate*, *Spectrochimica Acta* **41A**, 1427 (1985).

<sup>3</sup> G. J. Janz, J. Ambrose, J. W. Coutts, and J. R. Downey, *Raman spectrum of propylene carbonate*, *Spectrochimica Acta* **35A**, 175 (1979).

<sup>4</sup> J. Dybal, P. Schmidt, J. Baldrian, and J. Kratochvil, *Ordered Structures in Polycarbonate Studied by Infrared and*

*Raman Spectroscopy, Wide-Angle X-ray Scattering, and Differential Scanning Calorimetry*, *Macromolecules* **1998**, 31, 6611 (1998).

<sup>5</sup> S.-N. Lee, V. Stolarski, A. Letton, and J. Laane, *Studies of bisphenol-A-polycarbonate aging by Raman difference spectroscopy*, *Journal of Molecular Structure* **521**, 19 (2000).

<sup>6</sup> A. Mermet, E. Duval, S. Etienne, and C. G'Sell, *Effect of a plastic deformation on the nanostructure of polycarbonate: study by low-frequency Raman scattering*, *Polymer* **37**, 615 (1996).

**Tab. 1:** Position, Halbwertsbreite (HWB) und relative Intensität der Raman-Signale für die drei unterschiedlichen Stellen der Polycarbonat-Probe. Die Stellen werden kategorisiert in spannungsfrei, von mittlerer und hoher Verspannung. Die Frequenz und HWB resultieren aus Gaußschen Kurvenanpassungen, die Signalintensitäten werden unter Berücksichtigung des Fluoreszenz-Hintergrunds bestimmt. Die Identifizierung (physikalischer Ursprung) der Signale basiert auf Literaturrecherche.

Peak	Position ( $\text{cm}^{-1}$ )			HWB ( $\text{cm}^{-1}$ )			Rel. Intensität			Ursprung
	s.-frei	mittel	hoch	s.-frei	mittel	hoch	s.-frei	mittel	hoch	
1	420	421	421	26	33	39	1,05	1,12	1,14	O-C-O-Krümmung, A <sub>1</sub> -Mode
2	572	573	574	79	44	21	1,07	1,08	1,07	<i>unbekannt</i>
3	640	639	641	14	16	13	1,19	1,27	1,24	Komplanare C-Ring-Deformation
4	714	715	715	14	16	14	1,13	1,28	1,23	Krümmung in Kohlenstoff-Ringanordnung
5	745	743	745	22	17	22	1,09	1,17	1,12	Aromatische CH-Deformation
5b	–	775	776	–	31	7	–	1,05	1,05	Nicht-komplanare C-Ring-Deformation
6	843	842	843	29	40	36	1,08	1,12	1,12	Symmetrische C-H-Schwingung, out-of-plane
7	910	909	910	15	16	15	1,24	1,55	1,39	C-CH <sub>3</sub> -Bindungsstreckung
8	950	948	950	30	30	67	1,04	1,05	1,06	CH-Schwingung, out-of-plane
9	1011	1012	1011	27	51	26	1,05	1,07	1,07	C-O-Ringstreckung
10	1122	1122	1122	15	16	15	1,19	1,34	1,28	C-O-Ringstreckung
11	1194	1194	1195	18	14	14	1,15	1,17	1,18	C-O-Ringstreckung
12	1256	1255	1256	30	32	30	1,19	1,30	1,27	C-O-Einzel-Bindungsstreckung
13	–	1319	1324	–	75	77	–	1,06	1,06	Symmetrische Kohlen-/Sauerstoff-Deformation
14	1467	1467	1468	50	42	39	1,08	1,08	1,07	Asymmetrische CH <sub>3</sub> -Deformation
15	1618	1618	1619	20	21	20	1,30	1,44	1,39	Carbonyl-Ringstreckung (aromat. Atmungsmode)
16	1779	1778	–	67	29	–	1,06	1,07	–	C=O-Streckung
17	2890	2903	2903	56	46	30	1,14	1,20	1,23	Symmetrische CH-Streckschwingung
18	2953	2955	2952	39	32	41	1,22	1,26	1,28	Asymmetrische CH-Streckschwingung
19	3056	3057	3057	30	29	29	1,58	1,74	1,62	Aromatische CH-Streckung